

얇은 정사각형 용기 내의 스픈-업 유동에 관한 수치해석적 연구

박재현^{*}·서용권[†]

(2001년 12월 22일 접수, 2002년 5월 4일 심사완료)

A Numerical Study on Spin-up Flows in a Shallow Quadrangular Container

Jae-Hyun Park and Yong Kweon Suh

Key Words: Spin-up(스핀-업), Shallow Quadrangular Container(얇은 정사각형 용기), Numerical Analysis(수치해석)

Abstract

Spin-up is a transient flow phenomenon occurring in a container when it starts to rotate from rest or its rotational speed increases from a low to high value. However, most studies on this subject have been for two-dimensional approximation. In this study, spin-up flows in a shallow rectangular container are analysed by using three-dimensional computation. We compared our results with those obtained by others using basically two-dimensional computation. Effect of two parameters, Reynolds number and liquid depth on the flow evolution is studied. We found that 2-D result is not accurate enough, and the vertical velocity distribution should be assumed of a fourth-order polynomial function for a better comparison.

1. 서 론

유체 기계, 위상분리기, 액정표시장치(TFT-LCD) 제조 등의 산업분야와 지구물리학, 천체물리학, 기상학 등에서 중요한 현상으로 다루어지는 스픈-업(spin-up)이란 유체를 담고 있는 용기가 정지 혹은 강체 회전(solid-body rotation) 상태에서 갑자기 회전속도가 증가하는 것을 의미한다.

지금까지 스픈-업에 관한 연구들은 대부분 축대칭 형상에 관한 것이다. 대표적 비축대칭 형상인 사각형 용기 내의 스픈-업 유동에 관한 연구

로서, van Heijst 등⁽¹⁾은 실험을 통하여 직사각형 용기에 생성되는 셀의 개수가 종횡비와 극히 작은 접동(또는 교란)에 의해 바뀌어 질 수 있다는 것을 보여주었다. 또한 van Heijst 등⁽²⁾은 직사각형 용기 바닥에 경사를 주고 이에 따른 자유표면에서의 보태스(vortex)의 거동과 결합(merging)을 연구한 바 있다. 그리고 서⁽³⁾와 Suh⁽⁴⁾는 직사각형 용기의 종횡비(aspect ratio)에 따른 용기 내의 셀 형성 메커니즘을 수치해석적으로 연구하였다. Henderson 등⁽⁵⁾은 직사각형의 종횡비와 레이놀즈 수를 파라미터로 하여 용기 좌우 모서리에서 발생한 반시계 방향(cyclonic) 보태스 간의 결합 여부를 조사하였으며, 최와 서⁽⁶⁾, 최 등⁽⁷⁾과 Suh & Choi⁽⁸⁾는 에크만 분출모델(Ekman pumping models)을 사용하여 수심과 레이놀즈 수의 변화에 따른 자유표면에서의 보태스 거동과 결합을 연구하였고, 임광록과 권태종⁽⁹⁾은 얇은 경

* 동아대학교 대학원 기계공학과

† 책임 저자, 회원, 동아대학교 기계산업시스템공학부

E-mail : yksuh@mail.donga.ac.kr

TEL : (051)200-7648 FAX : (051)200-7656

사각형 용기 내의 유동을 포물형 Poiseuille 유동으로 가정하여 2차원적으로 수치해석하였다.

본 연구는 회전하는 얇은 평판 사이의 스펠-업 유동에 대해 임상우과 퀸태종³⁾이 사용한 포물형 Poiseuille 유동모델의 타당성을 검증하기 위해 PC-cluster형 병렬컴퓨터를 이용하여 3차원 DNS(Direct Numerical Simulation)로 수치해석하였으며, 보다 나은 유동모델의 개발을 위한 기초 데이터의 확보에 목적을 두고 있다.

2. 이론

2.1 모델 및 좌표계

Fig. 1은 본 연구에서 사용된 정사각형 모양의 용기와 좌표계를 나타낸다. 여기서 x^* , y^* , z^* 는 유차원 좌표계를, L 과 H 는 용기의 한변의 길이와 수직높이를 나타낸다.

동진성 계수 ν 인 유체가 담긴 정사각형 용기가 중앙지점 즉, $x^* = L/2$, $y^* = L/2$ 일 지점을 축으로 정지상태에서 Ω 로 회전할 때, 용기 내에 형성되는 스펠-업 유동을 연구대상으로 하였다. 이후 실험과의 비교를 위해 용기는 초기에 $\Omega(1 - \cos \omega^* t^*)/2$ 의 각속도로 최종각속도 Ω 에 도달하는 것으로 하였다. 여기서, t^* 는 유차원 시간, ω^* 은 용기가 정지상태에서 최종 각속도(Ω)로 이전되는 동안의 변화를 나타내는 각속도로 차유차원이고, 용기의 회전 각속도 변화는 실제로 π/ω^* 의 시간만에 종료된다.

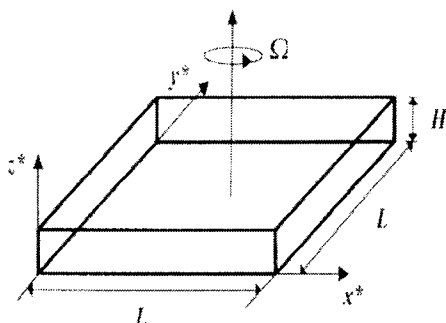


Fig. 1 Schematic diagram of the closed shallow quadrangular container

2.2 지배방정식

속도를 $L\Omega$ 로, 시간을 $1/\Omega$ 로, 그리고 길이를 L 로 무차원화한 지배방정식은 다음과 같다.

$$\begin{aligned} \frac{\partial u}{\partial t} + u \frac{\partial u}{\partial x} + v \frac{\partial u}{\partial y} + w \frac{\partial u}{\partial z} - 2(1+f)v = \\ -\frac{\partial p}{\partial x} + \frac{1}{Re} \left(\frac{\partial^2 u}{\partial x^2} + \frac{\partial^2 u}{\partial y^2} + \frac{\partial^2 u}{\partial z^2} \right) + y \frac{df}{dt} \end{aligned} \quad (1a)$$

$$\begin{aligned} \frac{\partial v}{\partial t} + u \frac{\partial v}{\partial x} + v \frac{\partial v}{\partial y} + w \frac{\partial v}{\partial z} + 2(1+f)u = \\ -\frac{\partial p}{\partial y} + \frac{1}{Re} \left(\frac{\partial^2 v}{\partial x^2} + \frac{\partial^2 v}{\partial y^2} + \frac{\partial^2 v}{\partial z^2} \right) - x \frac{df}{dt} \end{aligned} \quad (1b)$$

$$\begin{aligned} \frac{\partial w}{\partial t} + u \frac{\partial w}{\partial x} + v \frac{\partial w}{\partial y} + w \frac{\partial w}{\partial z} = \\ -\frac{\partial p}{\partial z} + \frac{1}{Re} \left(\frac{\partial^2 w}{\partial x^2} + \frac{\partial^2 w}{\partial y^2} + \frac{\partial^2 w}{\partial z^2} \right) \end{aligned} \quad (1c)$$

$$\frac{\partial u}{\partial x} + \frac{\partial v}{\partial y} + \frac{\partial w}{\partial z} = 0 \quad (2)$$

여기서 t 는 무차원 시간, x , y , z 는 용기와 같이 회전하는 무차원 좌표계를 나타낸다. 식 (1a)와 식 (1b)의 좌변 다섯 번째 항은 코리올리스력을, 우변의 마지막 항은 회전속도 변화에 따른 관성력을 나타낸다. 한편, 원심력과 중력은 보존력에 해당하므로 암력에 포함시켜서 수치해석하였다. 그리고 f 는 용기의 순간각속도와 최종각속도의 차이를 무차원화한 것이며 다음과 같이 정의된다.

$$f = \begin{cases} -\frac{1}{2}(1 + \cos \omega t) & \text{for } 0 \leq t \leq \pi/\omega \\ 0 & \text{for } t \geq \pi/\omega \end{cases} \quad (3)$$

식 (1a), (1b), (1c), (3) 및 기하학적 관계에서 사용된 무차원 변수는 다음과 같다.

$$Re = \frac{L^2 \Omega}{\nu}, \quad \omega = \frac{\omega^*}{\Omega}, \quad h = \frac{H}{L} \quad (4)$$

Re 는 레이놀즈 수, ω 는 초기의 회전속도 변화와 관련된 무차원 각속도이다. 본 연구에서는 ω 가 매우 큰 값을 가지며 용기는 정지상태에서

아주 짧은 시간동안에 최종 각속도에 도달한다. h 는 수직증횡비이다.

본 연구는 일폐된 정사각형 용기내에 유체가 가득찬 상태를 대상으로 하였으므로 속도경계조건은 경착(no-slip)조건과 비침투(impermeable)조건을, 압력경계조건은 Neumann 조건을 사용하였다.

해석결과는 z -방향의 와도(vorticity)성분 ζ 와 수평면에서의 유체 divergence($\nabla \cdot \vec{u}_h$), 공간평균 운동에너지($E(t)$)를 사용하여 분석하였으며, 이를 각각 다음과 같이 정의된다.

$$\zeta = \frac{\partial v}{\partial x} - \frac{\partial u}{\partial y} \quad (5)$$

$$\nabla \cdot \vec{u}_h = \frac{\partial u}{\partial x} + \frac{\partial v}{\partial y} = - \frac{\partial w}{\partial z} \quad (6)$$

$$E(t) = \frac{1}{A} \int (u^2 + v^2) dA \quad (7)$$

여기서 A 는 유통장의 무차원 수평단면적으로서 1이다.

3. 수치해석

3.1 격자계 구성과 차분법

Table 1은 본 연구에서 사용한 수직증횡비(h), 레이놀즈 수(Re)와 수치해석 시에 사용한 격자계를 나타낸다. 동일한 h 와 Re 에 대해 z -방향으로 서로 다른 격자계를 사용함으로써 격자수 변화에 따른 해의 변화여부를 조사하였다.

자배방정식의 공간미분은 중심차분법으로 차분화하였고, 시간미분은 오일러(Euler)법으로 차분

Table 1 Number of grids used in each parameter set

h	Re	$I \times J \times K$
0.04	20850	$202 \times 202 \times 12, 202 \times 202 \times 52$
0.02	45000	$202 \times 202 \times 12, 202 \times 202 \times 32$

화하였으며, 무차원 시간 증분은 0.001로 두었다. 압력방정식은 D-IILU법의 전처리에 의한 PCGM(pre-conditioned conjugate gradient method)을 사용하여 풀었다.

3.2 병렬처리

3차원 수치해석 알고리즘을 차례 제작한 32개 노우드의 병렬컴퓨터 "Jupiter"로 계산하였다.

Fig. 2는 병렬컴퓨터의 각 PE(processsing element)의 계산 담당구역을 나타낸 것이다. 전체 계산영역을 x -방향으로 8개, y -방향으로 2개, z -방향으로 2개의 작은 영역으로 분할하여 각 PE가 해당 영역을 계산하도록 하였으며, 영역과 영역사이의 경계부분에서는 각 PE간의 네트워크를 통한 데이터 전송이 이루어진다. 이렇게 함으로써 각 PE는 거의 동일한 부하로 계산을 수행하게 된다.

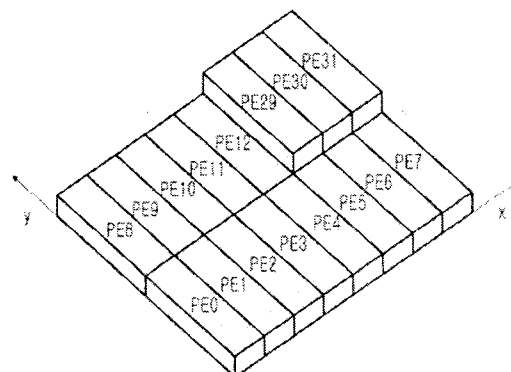


Fig. 2 Schematic of the domain decomposition

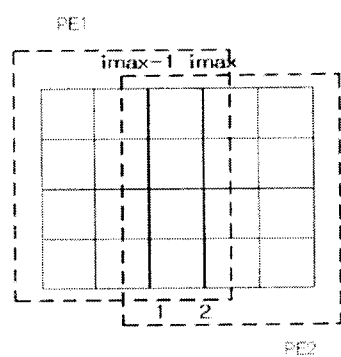


Fig. 3 Illustration of data transfer between two neighboring nodes

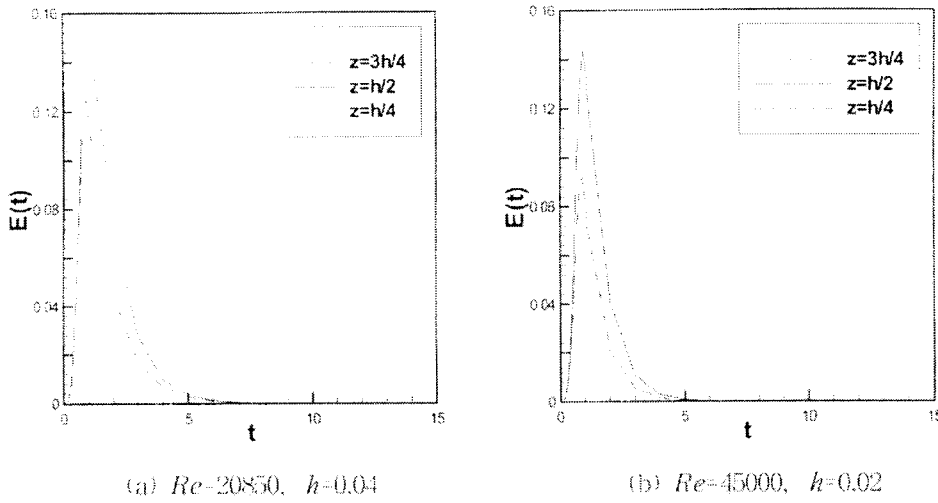


Fig. 4 Spatially averaged kinetic energy at $z = 3h/4$, $h/2$, $h/4$

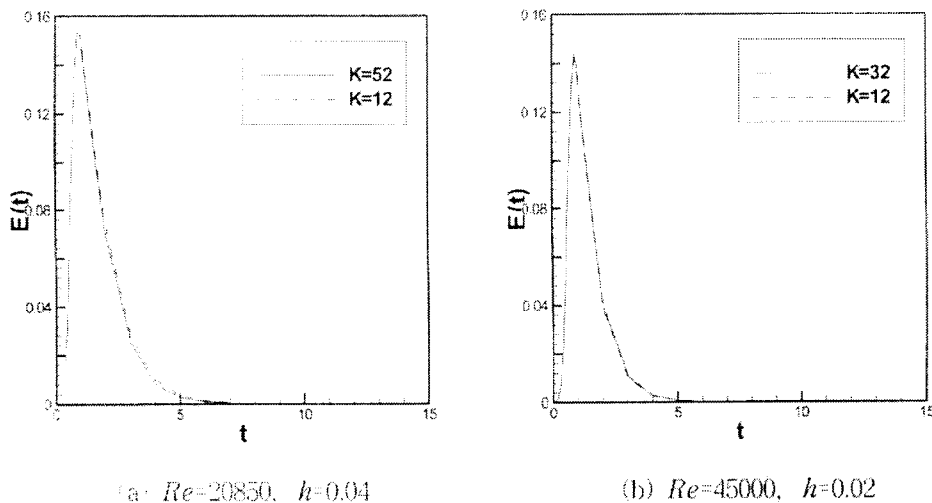


Fig. 5 Dependence of the spatially averaged kinetic energy at $z = h/2$ on the number of grids, K

Fig. 3 은 데이터 전송의 방법을 x -방향을 예로써 나타낸 것이다. PE1이 계산한 $i=imax-1$ 의 데이터를 PE2의 $i=1$ 로 전송하며 동시에 PE2에서 계산한 $i=2$ 의 데이터를 PE1의 $i=imax$ 의 데이터로 전송한다.

4. 결과 및 검토

4.1 x - y 평면상의 유동

Fig. 4는 수평단면상의 공간평균 운동에너지 ($E(t)$)를 나타낸 것이다. 수평면의 유통은 $z = h/2$ 면을 기준으로 상하 대칭을 이루기 때문에 공간평균 운동에너지도 대칭을 이룬다. 따라서 그림에서, $z = 3h/4$ 의 결과(파선)와 $z = h/4$ 의 결과(일점쇄선)는 완전히 일치한다. 스판-업 유통은 초기의 발달과정을 지나 피크를

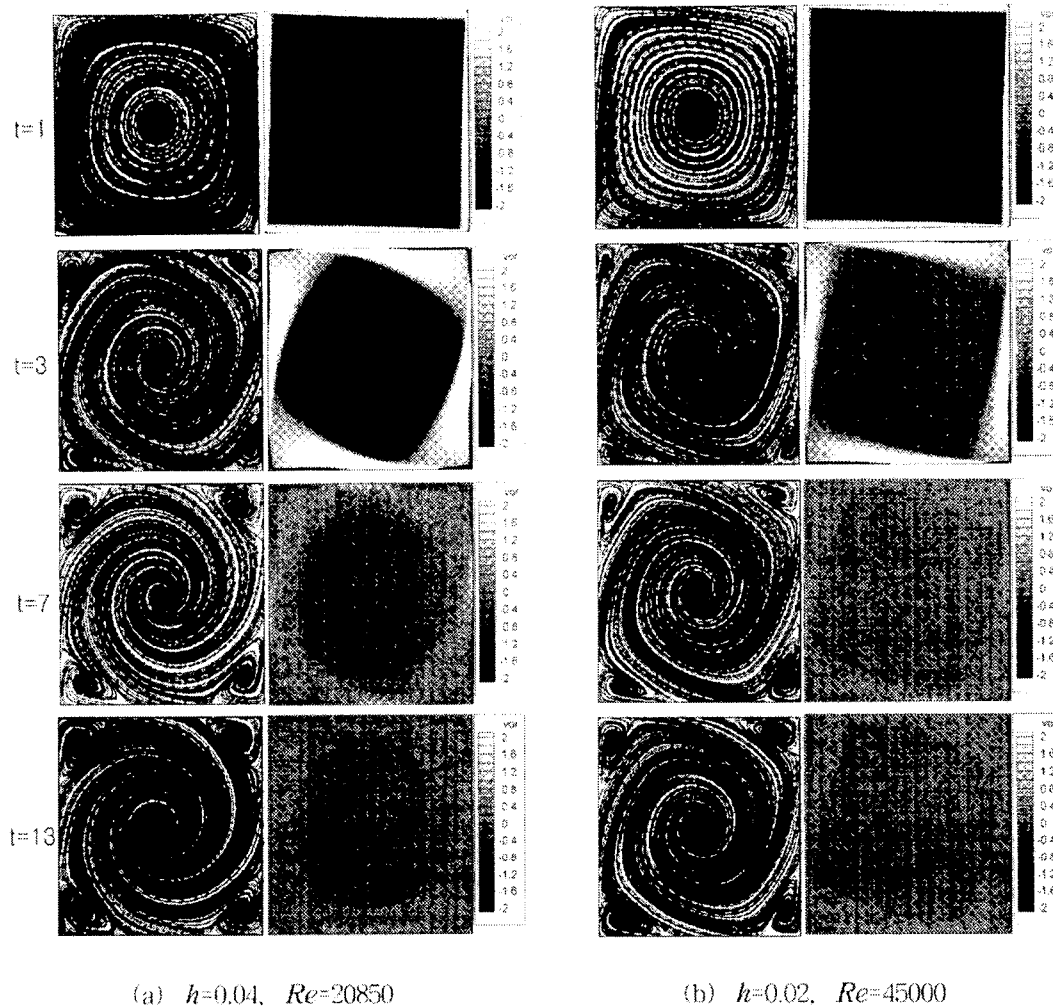


Fig. 6 Streamline and vorticity plots on the x-y plane at $z = h/2$ for two parameter sets

보인 뒤 급격히 약해지며 $t=7$ 이후에는 유동이 거의 정지상태임을 알 수 있다. 임광우와 권태종^[8]이 포물형 Poiseuille 유동모델을 사용하여 $Re=20850$, $h=0.04$ 에 대해 구한 유동장내 최대와도는 $t=40$ 이후에 유동이 거의 정지상태가 된다는 것을 알 수 있다. 이는 본 계산결과가 더 큰 감쇠효과를 보임을 뜻하며 주어진 parameter 조건에서의 얇은 용기 내의 유동이 포물형 Poiseuille 유동에 기초한 2차원 모델만으로는 특성을 파악할 수 없는 3차원 유동임을 의미한다.

Fig. 5는 동일한 파라미터 조건에 대해서 수직방향의 격자수를 달리했을 때의 수평 중앙단면의

공간평균 운동에너지이다. 이 결과는 수직방향의 격자수를 12로 하여도 안정적인 수치해를 얻을 수 있다는 것을 나타낸다.

Fig. 6은 두 가지 파라미터 세트에 대한 수평 단면상의 유선과 와도를 $z = h/2$ 에서 나타낸 것이다. 용기가 회전함에 따라서 먼저 용기의 중앙에 주 보ックス가 나타난다. 이어서 네 모서리 부분에서 코너 보ックス가 생성되지만 시간이 지남에 따라서 더 이상 발달하지 못하고 전체유동은 강체운동(solid body rotation)으로 집어든다. 특히 h 가 작은 경우(Fig. 6(b))는 큰 경우(Fig. 6(a))에 비해 유동의 감쇠효과가 두드러지며, 이는 공간평균 운동에너지(Fig. 4)에서도 확인된다. 그리고

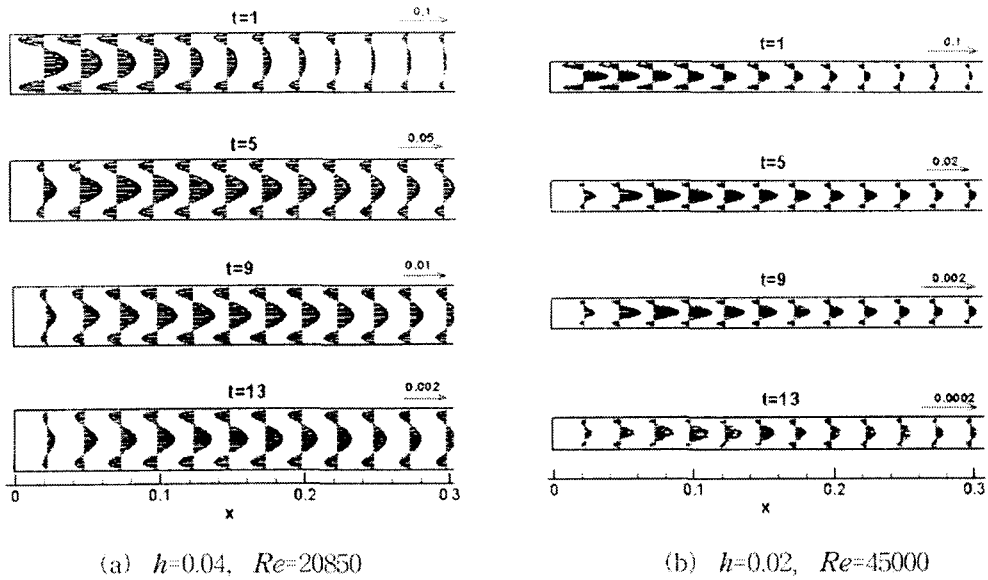


Fig. 7 Velocity vector plots on x - z plane at $y = 1/2$ for two parameter sets

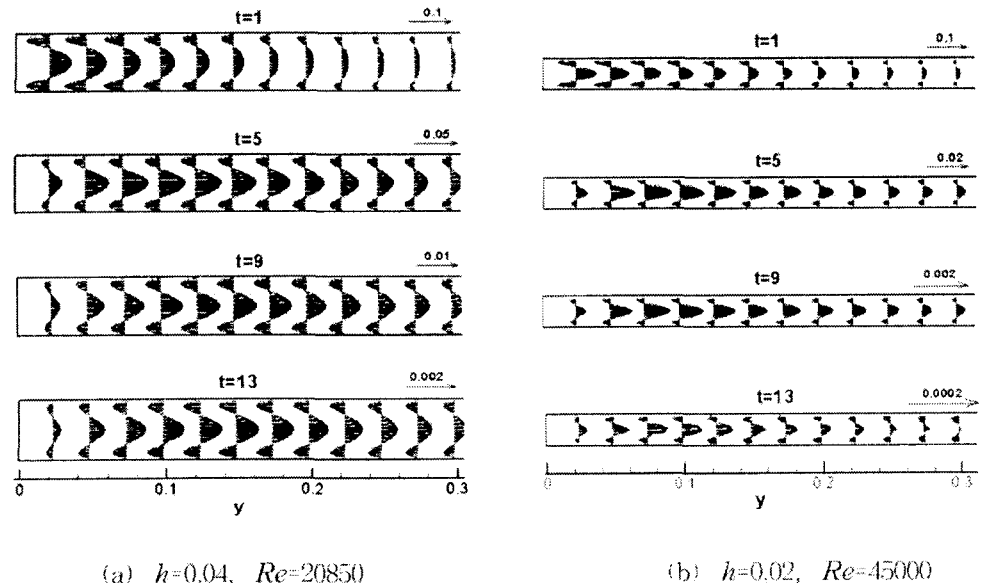


Fig. 8 Velocity vector plots on y - z plane at $x = 1/2$ for two parameter sets

$h=0.04$, $Re=20850$ 의 경우에 비해서 $h=0.02$, $Re=45000$ 의 경우는 모서리의 코너 보텍스(corner votex)가 상대적으로 미약하다. 일반적으로 h 가 작을수록 그리고 Re 가 작을수록 감쇠효과는 두드러질 것으로 예측할 수 있다. 수심은 전자의

경우가 더 크고(2배), 레이놀즈 수는 후자의 경우가 더 크다(2.16배)는 점을 감안하면 감쇠효과는 레이놀즈 수보다는 수심에 더 큰 영향을 받는다.

4.2 x - z , y - z 평면상의 유동

Fig. 7은 $y = 1/2$ 의 수직단면(x - z 단면)의 속

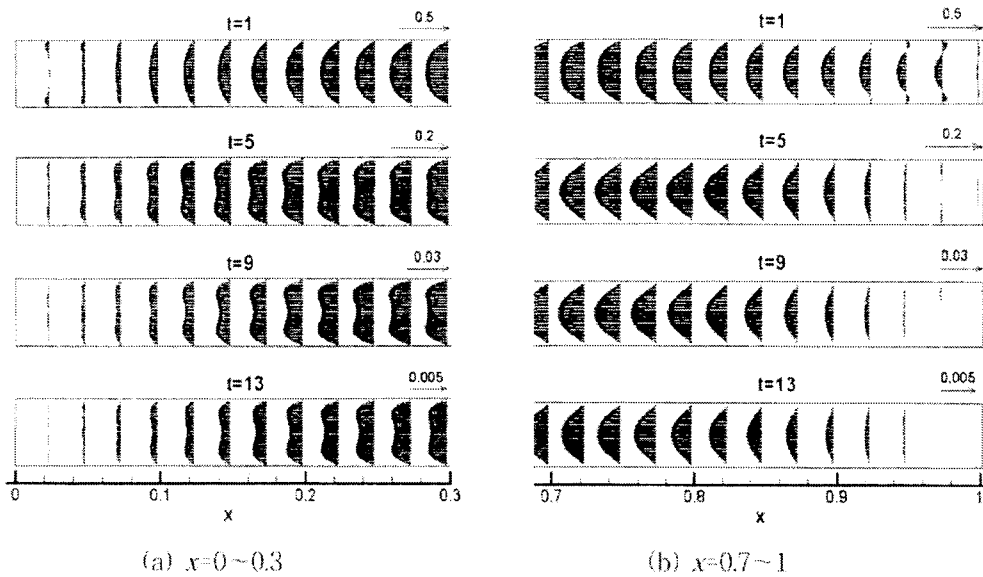


Fig. 9 Velocity vector plots on x - z plane at $y = 1/4$ for $h = 0.04$, $Re = 20850$

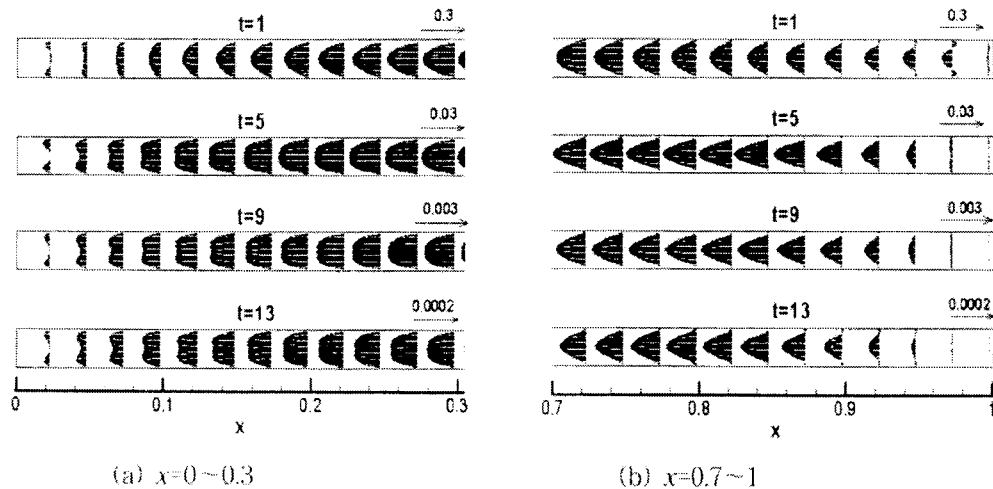


Fig. 10 Velocity vector plots on x - z plane at $y = 1/4$ for $h = 0.02$, $Re = 45000$

속도벡터를 시간의 변화에 따라서 나타낸 것이다. 이 단면에서의 속도벡터는 주유동(primary flow)이 아닌 거의 2차 유동(secondary flow)이며 주유동은 나타낸 면에 거의 수직이다. $z = h/2$ 의 중앙에서는 용기의 중심축 방향으로 그리고 $z = 0, h$ 의 벽면 근처에서는 반대로 가장자리 방향으로 유체가 이동하는 순환유동의 양상을 보인다. Fig. 8은 $x = 1/2$ 의 수직단면(y - z 단면)의

속도벡터를 나타낸 것이다. 이 그림에서도 $z = h/2$ 의 중앙에서는 용기의 중심축 방향으로 그리고 $z = 0, h$ 의 벽면 근처에서는 반대로 가장자리 방향으로 유체가 이동하는 순환유동의 양상을 보인다.

Fig. 7과 Fig. 8의 결과를 통해 얇은 사각단면의 2차 유동의 속도벡터는 z 에 대해 포물형태보다는 4차 함수의 형태라는 것을 알 수 있다. 이

는 짐작조건에 의해 평판 근처의 유체입자는 평판과 같이 회전함으로써 원심력에 의해 회전 중심축에서 바깥 벽면 쪽으로 이동하고 그 자리를 $z=h/2$ 근처의 유체가 이동하면서 전체적으로 순환유동의 양상을 보이기 때문이다. 더욱 중요한 사실을 이러한 유동형태가 시간이 지나도 지속된다는 것이다.

Fig. 9와 10은 $y=1/4$ 의 수직단면에서의 속도벡터들을 보인 것이다. 회전축 $x=1/2$ 에 가까울수록 그리고 얕은 수심일수록 속도분포는 2차 함수에 가까워진다. 이는 주류의 속도분포로서 2차 함수를 가정하는 것은 얕은 수심에 국한되어야 함을 의미한다.

4.3 수평면에서의 유체 divergence($\nabla \cdot \vec{u}_h$)

Fig. 11은 $h=0.04$, $Re=45000$ 의 $z=h/2$ 와 $h/4$

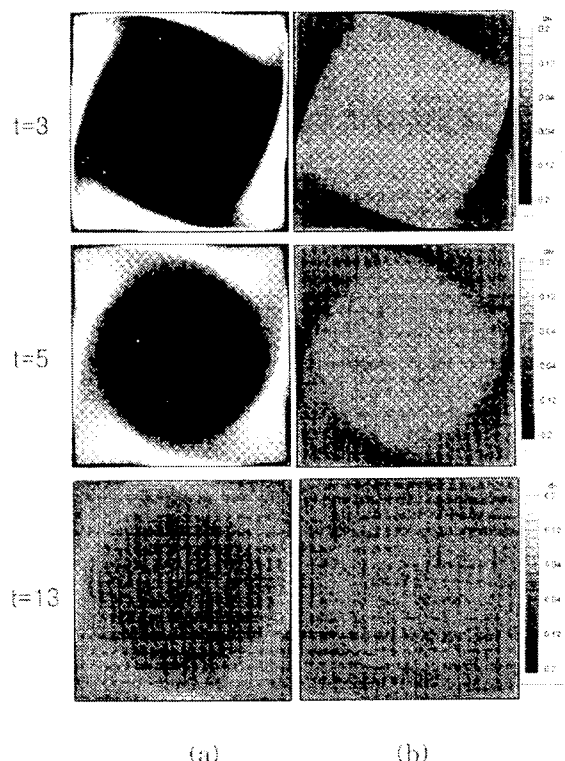


Fig. 11 Contour plots of $\nabla \cdot \vec{u}_h$ on the x-y plane at (a) $y=1/2$ and (b) $y=1/4$ for $h=0.04$, $Re=20850$

인 수평면에서의 유체 divergence($\nabla \cdot \vec{u}_h$)를 나타낸 것이다. 식 (6)에 의해 $\nabla \cdot \vec{u}_h < 0$ 인 영역에서는 w 가 z 에 따라 증가하여 수평단면에서 보면 유체뭉치는 수렴하며 $\nabla \cdot \vec{u}_h > 0$ 인 영역에서는 반대로 w 가 z 에 따라 감소하여 유체뭉치는 발산한다. Fig. 11(a)에서는, $z=h/2$ 의 중심단면에서 주 보ックス 영역에서는 수렴하고 모서리에서 발생한 코너 보ックス 영역에서는 반대의 현상이 발생하며 시간에 지남에 따라서 그 강도가 줄어들음을 알 수 있다. 이 결과는 Fig. 6(a)와 일치한다. 이러한 중심단면과 평판사이의 활발한 물결교환은 전체적으로 유동을 감쇠시키는 효과로 작용한다.

얇은 정사각용기 내의 유동을 포물형 Poiseuille 유동을 사용하여 해석한 준 3차원 모델의 경우,¹⁹⁾ 속도벡터의 수직방향 분포를 2차 함수의 형태로 가정함으로써 원심력에 의해 발생한 회전유동이 만들어내는 $z=h/2$ 의 단면과 평판사이에서 발생하는 물결교환에 의한 감쇠효과를 고려할 수 없기 때문에 보ックス의 성장과 발달이 활발하고 지속시간이 길다. 따라서 기본적으로 3차원 유동인 평판사이의 얇은 정사각형 유동을 2차원 방정식으로 해석하되, 속도벡터의 수직방향 분포를 4차 함수 형태로 가정하여 Ekman 분출효과를 모델링 함으로써 보다 정확한 해석과 계산의 효율성을 기할 수 있을 것으로 판단된다.

5. 결론

얇은 사각용기 내의 스핀-업 유동에 대한 연구를 통하여 다음과 같은 결론을 얻을 수 있었다.

- (1) 수직증횡비가 큰 매우 얇은 용기의 경우, 용기 내에 형성된 보ックス는 발달하지 못하고 시간이 지남에 따라 빠르게 감쇠된다.
- (2) 수평 중심면과 용기의 벽면사이에는 물결교환이 활발하며 이에 따른 감쇠효과가 보ックス의 성장과 지속을 막는다.
- (3) 수직증횡비가 큰 정사각형 용기 내의 회전유동에 대해, 속도벡터의 수직방향 분포를 포물

형 Poiseuille 유동으로 가정하면 수평 중심면과 용기의 벽면사이에는 물질전달에 의한 감쇠효과를 고려할 수 없으며, 보다 현실적인 해를 얻기 위해서는 이것을 4차 합수의 형태로 가정해야 한다.

후 기

본 연구는 한국과학재단 목적기초연구(R01-2000-00290) 지원으로 수행되었음.

참고문헌

- (1) van Heijst, G.J.F., Davies, P.A. and Davies, J., 1990, "Spin-up in a Rectangular Container," *Phys. Fluids*, Vol. 32, pp. 150~191.
- (2) van Heijst, G.J.F., Maas, L.R.M. and Willert, W.M., 1994, "The Spin-up of Fluid in Rectangular Container with a Sloping Bottom," *Fluid Mech.*, Vol. 265, pp. 125~159.
- (3) Suh, Y.K., 1993, "Two-Dimensional Spin-up in a Rectangle," *Trans. KSME (B)*, Vol. 17, No. 2, pp. 1805~1812.
- (4) Suh, Y.K., 1994, "Numerical Study of Two-Dimensional Spin-up in a Rectangle," *Ph. Fluids*, Vol. 6, pp. 2333~2344.
- (5) Henderson, D.M., Lopez, J.M. and Stewart, D.L., 1996, "Vortex Evolution in an Axisymmetric Impulsive Spin-up from Rest," *Fluid Mech.*, Vol. 324, pp. 109~134.
- (6) Choi, Y.H. and Suh, Y.K., 1999, "Geostrophic Flows in a Container with a Vertical Pit," *Trans. KCORE*, Vol. 13, No. 4, pp. 124~131.
- (7) Choi, Y.H., Park, J.K. and Suh, Y.K., 2001, "Study on the Spin-up Flow in a Rectangular Container by Using Ekman Pumping Models," *Trans. KSME (B)*, Vol. 25, No. 5, pp. 680~687.
- (8) Suh, Y. K. and Choi, Y. H. 2002, "Study on the Spin-up of Fluid in a Rectangular Container Using Ekman Pumping Models," *J. Fluid Mech.*, Vol. 458, pp. 103~132.
- (9) Lim, K.O. and Kweon, T.J., 2001, "The Study for an Impulsive Spin-up Flow in a Shallow Rectangular Container," *Trans. KSME (B)*, Vol. 25, No. 3, pp. 339~346.